

استخدام نماذج Box- Jenkins للتنبؤ بالمبيعات

(دراسة تطبيقية في معمل سمنت كركوك)

م.م. زيان إحسان كريم حمدي / الكلية التقنية كركوك

المستخلص:

تم في هذا البحث تطبيق احد نماذج Box- Jenkins للسلسل الزمنية لغرض التنبؤ بالمعدلات الشهرية لمبيعات الإسمنت في معمل سمنت كركوك للفترة 2003 - 2009 ومن خلال تقدير معاملات الارتباط الذاتي (PACF) Partial Auto Correlation Function والجزئي (ACF) Auto Correlation Function تبين أن السلسلة الزمنية للمبيعات مستقرة تقريباً . بالاعتماد على معيار اكايكى للمعلومات (AIC) لتحديد النموذج الملائم وقد تبين ان النموذج الملائم هو النموذج (2,1,2) ARIMA وقد تم التأكيد من إن هذا النموذج جيد ويعطي تنبؤات دقيقة وقريبة من الواقع ، وأخيراً تم عمل التنبؤات للمعدلات الشهرية للمبيعات لغاية نهاية سنة 2013 .

ABSTRACT:

In this paper one of the Box- Jenkins time series models has been applied to forecast the average of the monthly sales in the period 2003 - 2009 in Kirkuk Industry Cement.

From the estimated autocorrelation and partial autocorrelation coefficients it found that the time series of sales are nearly stationary and contains the effect of seasonality.

To select the best model using Minimum value for Mean Squared Error Criterion (Mse) & Minimum value for Akaike's Information Criterion (AIC). It appears that the Model ARIMA (2,1,2), is applicable for predict the monthly sales for the period until 2013.

المقدمة

تعتمد اغلب الدول اليوم في بناء خططها على الاسس والمعايير العلمية الأكثر دقة للوصول الى نتائج أكثر فاعلية في مجالات الحياة المختلفة .

لقد ركزت اغلب الدراسات اهتمامها على تحليل السلسل الزمنية لدراسة الظواهر المختلفة ، لأن هذه الظواهر اذا ما استخدمت وتم اخذ التغيرات التي طرأت عليها بنظر الاعتبار ، وكذلك معرفة اسباب حدوثها ونوع العلاقات وتوضيحها ودراسة قيم هذه المشاهدات بينها يصبح من المتيسر التنبؤ بقيم هذه الظواهر والتغيرات التي سوف تطرأ عليها في المستقبل في ضوء ما حدث عليها في الحاضر والماضي .

ان تحليل السلسل الزمنية وايجاد الارتباطات الذاتية والارتباطات الذاتية الجزئية لوصف الظاهرة ومن ثم بناء النموذج باستخدام الاجراءات الخاصة ببناء النموذج من حيث التشخيص والتقدير للوصول الى صيغة لاختيار النموذج من خلال المعايير الشائعة مثل معيار اکایکی للمعلومات AIC والمعايير الأخرى. ان تحليل السلسل الزمنية احادية المتغيرات Time Series Univariate تكون ذات فائدة لتمثيل العلاقة لبيانات السلسلة الزمنية ولكن لا يأخذ بنظر الاعتبار العوامل الأخرى او الظواهر التي تؤثر في الظاهرة بشكل آخر .

وقام الكثير من الباحثين الاحصائيين بدراسة وتحليل السلسل الزمنية، منهم الباحثان Box و Jenkins اذ انهم قدما دراسة موسعة وتفصيلية لنماذج السلسل الزمنية اللاموسمية والموسمية ومراحل بناء هذه النماذج.

قسم البحث الى جانبين ، تناول الاول الاسس النظرية لنماذج Box- Jenkins ومراحل بناء النموذج، في حين تناول الثاني الجانب التطبيقي اذ تم تطبيق النموذج في ضوء البيانات الخاصة بالمعدلات الشهرية للمبيعات واستخدامها في حساب التنبؤات .

منهجية البحث:

هدف البحث : يهدف هذا البحث إلى اعتماد نموذج من نماذج بوكس -جنكنز لعرض التنبؤ بالمبيعات في معمل سمنت كركوك.

مشكلة البحث : تتركز مشكلة البحث في الإجابة على التساؤل الآتي:

هل يحقق اعتماد النماذج الرياضية في معمل سمنت كركوك دقة أكثر لتنبؤات الإدارة لأرقام مبيعاتها؟

أهمية البحث : تمثل أهمية البحث في كونه يساهم في تقدير أرقام المبيعات في المنشآت وبالتالي في التخطيط السليم لمحمل أنشطتها.

فرضية البحث : يستند البحث إلى فرضية أساسية هي إن استخدام الطرق الإحصائية يعزز من قدرة الإدارة على التنبؤ بأرقام مبيعاتها بشكل أكثر دقة.

أولاً - الجانب النظري

السلسلة الزمنية : وهي مجموعة القراءات أو البيانات التي تأخذها ظاهرة ما عند فترات زمنية متعددة غالبا ما تكون متساوية . وتختلف هذه الفترات حسب طبيعة الظاهرة قد تكون يومية او أسبوعية او شهرية او سنوية . وان ايّة سلسلة زمنية تحتوي على متغيرين احدهما مستقل وهو الزمن (t) والآخر التابع وهي قيمة الظاهرة (Z_t) ويسمى التمثيل البياني للسلسلة بالمنحنى التاريخي للسلسلة الزمنية (كموجه ، 2001، انترنت).

1-1 تصنیف السلاسل الزمنیة **Types of time series**

هناك عدّة أصناف للسلاسل الزمنية ذكر منها:

اولا - السلاسل الزمنية المستقرة **Stationary time series**

- . لتقدير أيّة سلسلة زمنية يتم التحقق من استقرارية البيانات التي تسهل عملية التنبؤ للمستقبل (Cryer, 1986: 20)، فالسلسلة الزمنية تكون مستقرة إذا كانت في موازنة إحصائية أي إن السلسلة الزمنية تمتلك وسطا حسابيا مع تباين ثابتين مع استمرار الزمن.

وكذلك تكون السلسلة الزمنية مستقرة عند عدم ظهور أي اتجاه عام وتذبذبات مختلفة في شكل السلسلة (Box-Jenkins, 1976: 22). ويمكن تقسيم السلاسل الزمنية المستقرة إلى نوعين هما:

أ - سلاسل زمنية ذات استقرارية تامة **Strictly Stationary Time series**

إذا كانت دالة التوزيع للمتغيرات العشوائية لا تتغير مع الزمن، وبعبارة أخرى إن التوزيع الاحتمالي المشترك لقيم السلسلة الزمنية تعتمد على الإزاحة بين قيم السلسلة ولا تعتمد على القيم الحقيقية لها، أي $Z_{t_1}, Z_{t_2}, \dots, Z_{t_n} = Z_{t_1+k}, Z_{t_2+k}, \dots, Z_{t_n+k}$ أن

وتكون السلسلة الزمنية تامة الاستقرارية إذا تحققت فيها الشروط الآتية:

- قيمة المتوسط (Mean) أو القيمة المتوقعة الثابتة أي إنها لا تعتمد على الزمن

$$E(Z_t) = \mu$$

- ان يكون التباين (Variance) ثابت لا يعتمد على الزمن

$$E\{(Z_t - \mu)^2\} = \sigma^2$$

$$\text{Var}(Z_t) = \sigma^2$$

- التغير الذاتي (Auto covariance) يعتمد على الإزاحة (K) بغض النظر عن قيمة (t) أي ان:

•

$$\gamma(k) = E\{(Z_t - \mu)^2\} = \text{cov}(Z_t, Z_{t+k})$$

$$\gamma(k) = E\{(Z_t - \mu)(Z_{t+k} - \mu)\}, k = 0, 1, 2, \dots$$

حيث ان ..

μ : يمثل الوسط الحسابي

K : يمثل الفترات المزاحمة (Lags Time)

بـ-السلسلة الزمنية ضعيفة الاستقرارية Weakly Stationary Time Series

ان السلسلة الزمنية تكون ذات استقرارية ضعيفة او ذات استقرارية من الدرجة الثانية Second Auto Covariance Function اذا كان الوسط لها ثابتـا ودالة التغير الذاتي Order Stationary تعتمد فقط على الازاحة (K) ولهذا فان (Chatfield,1984:25) :

القيمة المتوقعة Z_t ثابتـة:

$$E(Z_t) = \mu$$

- دالة التغير الذاتي تعتمد على الازاحة (K)

$$\text{Cov}\{Z(t), Z(t+k)\} = zk$$

ويمكن معرفة الاستقرارية من خلال الرسم البياني للمشاهدات وكذلك يمكننا التحقق من استقرارية السلسلة الزمنية عن طريق استخدام دوال الارتباطات الذاتية (Auto Correlation Functions) من خلال اخذ قيم معاملات الارتباط الذاتي فإذا كانت السلسلة مستقرة فان قيم معاملات الارتباط الذاتي تقترب من الصفر بعد الازاحة (Lag) الثانية او الثالثة، اما اذا كانت السلسلة غير مستقرة فانها تقترب من الصفر في عدد كبير من الازاحات (Lags) قد تصل الى السابعة او الثامنة وقد لا تقترب من الصفر.

ثانيا-سلسلة العشوائية (التشويش الأبيض White Noise Series) هي عبارة عن سلسلة من المشاهدات العشوائية غير المترابطة) واحيانا نفترض انها سلسلة من المتغيرات العشوائية التي تكون مستقلة ولها توزيعات متطابقة (IID) بمتوسط صافي وتبين ثابت σ^2 أي:

$$1) \quad E(a_t) = 0, \forall t$$

$$2) \quad \text{cov}(a_t, a_s) = \begin{cases} \sigma^2, & \forall t, \forall s, t = s \\ 0, & \forall t, \forall s, t \neq s \end{cases}$$

ويرمز لها بالرمز

$$a_t : WN(0, \sigma^2)$$

دالة التغير الذاتي **Auto covariance Function** وتعرف كالتالي:

$$\begin{aligned} \gamma_{t,s} &= \text{cov}(Z_t, Z_s), \forall t, \forall s \\ &= E[(Z_t - \mu)(Z_s - \mu)], \forall t, \forall s \end{aligned}$$

وإذا عرفنا التخلف k على انه الفترة الزمنية التي تفصل بين Z_t وبين Z_{t+k} أو Z_t فإن دالة التغایير الذاتي تعطى بالعلاقة:

$$\begin{aligned}\gamma_k &= \text{cov}(Z_t, Z_{t-k}), \quad k = 0, \pm 1, \pm 2, L \\ &= E[(Z_t - \mu)(Z_{t-k} - \mu)], \quad k = 0, \pm 1, \pm 2, L\end{aligned}$$

ملحوظة: سوف نستخدم التعريف الثاني دائمًا

ثالثاً - دالة الارتباط الذاتي Autocorrelation Function (ACF) وتعرف كالتالي:

ان دالة الارتباط الذاتي هو المقياس الذي يقيس العلاقة بين السلسلة ذاتها وفترات زمنية مختلفة وتعد من المقاييس التي تستخدم في تحليل السلسلة الزمنية وتكون بالصيغة الآتية: (برى، ٢٠٠٢: ٢٠٠)

$$\rho_k = \frac{\gamma_k}{\gamma_0}, \quad k = 0, \pm 1, \pm 2, L$$

ولها الخواص الآتية:

1. $\rho_0 = 1$
2. $\rho_{-k} = \rho_k$
3. $|\rho_k| \leq 1$

رابعاً - دالة الارتباط الذاتي للعينة Sample Autocorrelation Function SACF لمشاهدات

السلسلة الزمنية $z_1, z_2, L, z_{n-1}, z_n$ ويرمز لها بالرمز r_k وتعطى بالعلاقة:

$$r_k = \frac{\sum_{t=1}^{n-k} (z_t - \bar{z})(z_{t+k} - \bar{z})}{\sum_{t=1}^n (z_t - \bar{z})^2}, \quad k = 0, 1, 2, \dots$$

$$\bar{z} = \frac{1}{n} \sum_{t=1}^n z_t$$

حيث أن

وهي مقدر Estimator لدالة الارتباط الذاتي أي $\hat{\rho}_k = r_k$, $k = 0, 1, 2, \dots$ وبما انها مقدر فهي إذن

تتغير عشوائياً من عينة لأخرى ولهذا فإن لها الخواص العينية الآتية:

إذا كانت $\rho_k = 0$, $k > q$ فإن

$$V(r_k) \cong \frac{1}{n} \left(1 + 2 \sum_{k=1}^q \rho_k^2 \right), \quad k > q$$

وفي الحالة الخاصة عندما $\rho_k = 0, k > 0$ فإن :

$$V(r_k) \cong \frac{1}{n}, \quad k > 0$$

- لقيم n الكبيرة و $\rho_k = 0$ فإن r_k يكون لها تقريباً توزيع طبيعي وبالتالي نستطيع القيام بالاختبار الآتي:

$$H_0: \rho_k = 0$$

$$H_1: \rho_k \neq 0$$

وذلك باستخدام المعادلة الإحصائية :

$$\frac{|r_k|}{\sqrt{n}} = \sqrt{n} |r_k|$$

وذلك عند مستوى معنوية $\alpha = 0.05$ وترفض H_0 إذا كانت $\sqrt{n} |r_k| > 1.96$

- تحت الفرضية $corr(r_k, r_{k-s}) \cong 0, s \neq 0$ فإن $H_0: \rho_k = 0, \forall k$

• تقدّر التباينات لدالة الارتباط الذاتي للعينة كالتالي:

$$\hat{V}(r_k) \cong \frac{1}{n} \left(1 + 2 \sum_{k=1}^q r_k^2 \right), \quad k > q$$

خامساً - دالة الارتباط الذاتي الجزئي للعينة

لمشاهدات السلسلة الزمنية $z_{kk}, z_{k-1}, z_{k-2}, \dots, z_1, z_2, \dots, z_n$ ويرمز لها بالرمز r_{kk} تعطى

بالعلاقة : (Chan, 2002:23)

$$r_{kk} = \begin{cases} 1, & k = 0 \\ r_1, & k = 1 \\ \begin{vmatrix} 1 & r_1 & L & r_{k-2} & r_1 \\ r_1 & 1 & L & r_{k-3} & r_2 \\ M & M & L & M & M \\ r_{k-1} & r_{k-2} & L & r_1 & r_k \end{vmatrix}, & k = 2, 3, \dots \\ \begin{vmatrix} 1 & r_1 & L & r_{k-2} & r_{k-1} \\ r_1 & 1 & L & r_{k-3} & r_{k-2} \\ M & M & L & M & M \\ r_{k-1} & r_{k-2} & L & r_1 & 1 \end{vmatrix} \end{cases}$$

ولحساب r_{kk} تكراريا من العلاقات

$r_{00} = 1$, by definition

$$r_{11} = r_1$$

$$r_{kk} = \frac{r_k - \sum_{j=1}^{k-1} r_{k-1,j} r_{k-j}}{1 - \sum_{j=1}^{k-1} r_{k-1,j} r_j}, \quad k = 2, 3, \dots$$

حيث

$$r_{kj} = r_{k-1,j} - r_{kk} r_{k-1,k-1}, \quad j = 1, 2, \dots, k-1$$

وهي ايضا مقدّر Estimator لدالة الارتباط الذاتي الجزئي للعينة أي
وبما انها مقدّر فهي إذن تتغير عشوائيا من عينة لآخر ولهذا فإن لها الخواص العينية الآتية:

-1

$$V(r_{kk}) \cong \frac{1}{n}, \quad k > 0$$

٢- لقيم n الكبيرة فإن r_{kk} يكون لها تقريبا توزيع طبيعي وبالتالي نستطيع القيام بالاختبار التالي:

$$H_0 : \phi_{kk} = 0$$

$$H_1 : \phi_{kk} \neq 0$$

وذلك باستخدام الإحصائية :

$$\frac{|r_{kk}|}{n^{-\frac{1}{2}}} = \sqrt{n} |r_{kk}|$$

وذلك عند مستوى معنوية $\alpha = 0.05$ إذا كانت H_0 وترفض $\sqrt{n} |r_{kk}| > 1.96$

٣- تحت الفرضية $corr(\phi_{kk}, \phi_{k-s, k-s}) \cong 0, s \neq 0$ فإن $H_0 : \phi_{kk} = 0, \forall k$

٤- تُقدر البيانات لدالة الارتباط الذاتي للعينة كالآتي:

$$\hat{V}(r_{kk}) \cong \frac{1}{n}, \quad k > 0$$

٣- نماذج Box- Jenkins للتنبؤ :

إن نماذج Box- Jenkins تستخدم في تحليل السلسل الزمنية في مجال الزمن، وتنقسم إلى قسمين (Box-Jenkins, 1976:15)

أولاً - النماذج الموسمية Seasonal Models وسوف لن ندخل في تفاصيلها لاعتماد النماذج من النوع الثاني.

Non – seasonal Models

ثانياً - النماذج اللاموسمية

النماذج اللاموسمية : وتستخدم لتمثيل نوعين من السلسل ، المستقرة وغير المستقرة، ومن هذه النماذج (جميل، 26 : 2007) :

- نموذج الانحدار الذاتي : ويكتب بالشكل الآتي:

$$Z_t = \phi_1 Z_{t-1} + \phi_2 Z_{t-2} + \dots + \phi_p Z_{t-p} + a_t$$

$$Z_t = \sum_{j=1}^{\infty} \phi_j z_{t-j} + a_t$$

$$J = 1, 2, \dots, p$$

حيث ان:

ϕ_j : تمثل معلمات النموذج

a_t : الخط العشوائي

$J = 1, 2, \dots, p$ تمثل رتبة النموذج

وتسمى هذه المعادلة بنموذج الانحدار الذاتي العام من الرتبة (p) ويرمز له AR(p) وان قيم المتغير الحالي تعتمد على قيمته السابقة. وإذا كانت العملية مستقرة فان :

$$E(Z_t) = 0$$

و إن معامل التغایر الذاتي هو

$$\gamma(k) = E(z_t z_{t+k}) = \begin{cases} \sum_{j=1}^{\infty} \phi_j |k-j| + \sigma^2_a, & k = 0 \\ \sum_{j=1}^{\infty} \phi_j |k-j|, & k \geq 1 \end{cases}$$

وإن $\rho(k)$ وإن دالة الارتباط الذاتي (ACF) للانحدار الذاتي هي:

$$\rho(k) = \frac{\gamma(k)}{\gamma(0)}$$

$$= \sum_{j=1}^{\infty} \phi_j \rho(|k-j|), k \geq 1$$

• نموذج الاوساط المتحركة : وصيغته كالتالي:

$$Z_t = a_t - \theta_1 a_{t-1} - \theta_2 a_{t-2} - \theta_3 a_{t-3} - \dots - \theta_q a_{t-q}$$

$$Z_t = a_t - \sum_{j=1}^{\infty} \theta_j a_{t-j}$$

• نموذج (الانحدار الذاتي – الاوساط المتحركة المختلط) : ARMA(p,q) (The Auto regressive Moving Average Mixed Model)

ويكتب بالصيغة الآتية :

$$Z_t = \phi_1 Z_{t-1} - \phi_2 Z_{t-2} + \dots + \phi_p Z_{t-p} + a_t - \theta_1 a_{t-1} - \theta_2 a_{t-2} - \dots - \theta_q a_{t-q}$$

ومن النماذج التي يمكن الاعتماد عليها في هذه الدراسة هي نماذج بوكس – جنكنز بعدها الاكثر شيوعا اذ انها تحتل حيزا كبيرا في ايجاد التوقعات المستقبلية، لذلك فان هذه النماذج وطرق تقدير معلماتها تعد من اهم المستلزمات التي تم الاعتماد عليها في بناء النموذج التنبؤي، وهي تلعب دورا مهما في تحديد النموذج المفضل الذي يتم التوصل اليه) . (محمد، 156: 2010)

٤- نماذج الانحدار الذاتي - التكاملی - المتوسط المتحرك من الدرجة- Autoregressive Integrated-Moving Average Models ARIMA(p,d,q)

يمكن نمذجة السلسلة المستقرة، $w_t = \nabla^d z_t$ على شكل نموذج انحدار ذاتي-متوسط متحرك من الدرجة (p,q) كال التالي : (بری، 52: 2002)

$$\phi_p(B) w_t = \phi_p(B) \nabla^d z_t = \delta + \theta_q(B) a_t, \quad a_t : WN(0, \sigma^2)$$

أو

$$\phi_p(B)(1-B)^d z_t = \delta + \theta_q(B) a_t, \quad a_t : WN(0, \sigma^2)$$

وهذا النموذج يسمى نموذج الإنحدار الذاتي-التكاملـي-المتوسط المتحرك من الدرجة (p,d,q) حيث $\delta \in (-\infty, \infty)$ معلم الإنحراف.

ومن نماذج الإنحدار الذاتي-التكاملـي-المتوسط المتحرك من الدرجة (p,d,q) نذكر:

أولاً: نموذج الإنحدار الذاتي-التكاملـي من الدرجة $(1,1)$ أو: $\text{ARIMA}(1,1,0) = \text{ARI}(1,1)$
ويكتب على الشكل

$$\phi_1(B)(1-B)z_t = \delta + \theta_0(B)a_t, \quad a_t : WN(0, \sigma^2)$$

$$(1 - \phi_1 B)(1 - B)z_t = \delta + a_t$$

$$\{1 - (\phi_1 + 1)B + \phi_1 B^2\}z_t = \delta + a_t$$

أي

$$z_t = \delta + (\phi_1 + 1)z_{t-1} - \phi_1 z_{t-2} + a_t, \quad a_t : WN(0, \sigma^2), \quad |\phi_1| < 1$$

ثانياً: نموذج التكاملـي-المتوسط المتحرك من الدرجة $(1,1)$ أو: $\text{ARIMA}(0,1,1) = \text{IMA}(1,1)$
ويكتب على الشكل الآتي:

$$\phi_0(B)(1-B)z_t = \delta + \theta_1(B)a_t, \quad a_t : WN(0, \sigma^2)$$

$$(1 - B)z_t = \delta + (1 - \theta_1 B)a_t, \quad a_t : WN(0, \sigma^2), \quad |\theta_1| < 1$$

$$z_t - z_{t-1} = \delta + a_t - \theta_1 a_t, \quad a_t : WN(0, \sigma^2), \quad |\theta_1| < 1$$

أي

$$z_t = \delta + z_{t-1} + a_t - \theta_1 a_t, \quad a_t : WN(0, \sigma^2), \quad |\theta_1| < 1$$

حيث يسمى النموذج بالنموذج المختلط MIXED ARIMA ذات الرتبة (p,d,q) ، وان عدم الاستقرارية في السلسلة يتم بأخذ عدد من الفروق (d) لتحويلها الى سلسلة مستقرة وان قيمة (d) قد تأخذ القيم $(0,1)$ أو على الاكثر $(0,1)$ (Box – Jenkins, 1976: 36).

التنبؤ : Forecasting

ان إحدى الأهداف الأساسية لبناء نماذج السلسلة الزمنية هي إمكانية التنبؤ بالقيم المستقبلية للسلسلة .(Shumway&David,2006:33)

وكذلك تصف إحدى الأهداف الأساسية لتحليل السلسلة الزمنية وذلك التنبؤ بالقيم المستقبلية للسلسلة حيث ان (t) هي عدد المشاهدات وان $t=1,2,\dots$

وان التنبؤ يستخدم أحسن نموذج ملائم للسلسلة الزمنية تحت الدراسة إذا كان لها أقل تباين للخطأ و يجب حساب الصيغة $SE_{t+\ell} = \sqrt{1 - \alpha} Z_{t+\ell}$ وباستخدامه يمكن حساب Z_t التي هي فترة التنبؤ لقيمة الجديدة.

اذا كانت السلسلة Z_1, Z_2, \dots, Z_t لل فترة (t) فإننا نستخدم التنبؤ لقيمة $Z_{t+\ell}$ حيث ان :

ℓ : تمثل الزمن المستقبلي (Lead time).

t : تمثل الزمن الأصلي (Origin time).

وان التنبؤ الأمثل عند اخذ التوقع الشرطي إلى $Z_{t+\ell}$ هو (Cryer, 1986:28)

$$\hat{Z}_{t+\ell} = E(Z_{t+\ell} | Z_t, Z_{t-1}, \dots, Z_1)$$

وان اغلب نتائج التنبؤ استنجدت من النظرية العامة للتخمين الخطى الذي نشر من قبل

Wieneter (1941), Kalman (1949), Yaglom (1960), Kolmogorov Whittle (1962) (1983). (Makridakis, et al, 1998:50)

مراحل بناء النموذج الملائم حسب طريقة بوكس - جنكيرز:

هناك عدة مراحل لبناء أي نموذج من نماذج بوكس - جنكيرز للتتبؤ لتمثيل سلسلة زمنية مس تنقرة وتشمل الآتي : (جميل، 2007:40)

المرحلة الأولى : Identification Phase

ان المرحلة الاكثر أهمية في بناء النموذج هي مرحلة التشخيص وهي تعتمد على سلاسل البيانات المعطاة في الدراسة، ان الخطوة الاولى في مرحلة التشخيص هي رسم البيانات للسلسلة الزمنية وذلك لفحص وجود الاتجاه ، الموسمية، القيم الشاذة، التباين غير الثابت والظواهر الاخرى غير المستقرة .

اما في الخطوة الثانية فيتم حساب دالة الارتباط الذاتي للعينة (SACF) ودالة الارتباط الذاتي الجزئي (SPACF)، اذا كانت السلسلة مستقرة في الخطوة الاولى فان دالة الارتباط الذاتي للعينة ودالة الارتباط الذاتي الجزئي للعينة في الخطوة الثانية هي نفسها ، وفي الخطوة الثالثة يتم تحديد رتبة النموذج من خلال دالة الارتباط الذاتي ACF، والارتباط الذاتي الجزئي PACF، ولكن عند مطابقة معاملات الارتباط الذاتي والارتباط الذاتي الجزئي للسلسلة الاصلية مع السلوك النظري فهذا لا يؤدي الى الخطوة النهائية في تحديد النموذج ورتبته فقد نواجه بعض الصعوبات في تحديد النموذج ورتبته عندما لا تسلك هذه المعاملات السلوك النظري وهذا يؤدي الى ظهور أكثر من نموذج لكي تمثل السلسلة الزمنية مما يؤدي الى اختيار عدة نماذج من قبل الباحث ويختار النموذج الملائم ليلائم بياناته التي يحددها.

والجدول أدناه يبين الخصائص النظرية لدالة ACF و PACF للسلسل المستقرة .

جدول رقم (1) الخصائص النظرية لدالة ACF و PACF للسلسل المستقرة

(PACF)	(ACF)	العملية
ينقطع بعد الازاحة p	يتلاشى أسيًا	AR(p)
يتلاشى أسيًا	ينقطع بعد الازاحة q	MA(q)
يتلاشى بعد الازاحة (q-p)	يتلاشى بعد الازاحة (q-p)	ARMA(q,p)

Source: (Wei,1990:40)

المرحلة الثانية : تقدير المعلمات Parameters Estimations

المرحلة الثانية هي مرحلة تقدير معلمات النموذج وان هذه المرحلة تشمل التقدير والتدقيق التشخيصي (تحقق من النموذج) وكذلك اختيار النموذج (Cryer,1986:30)

التقدير : Estimation

بعد ان يحدد النموذج وتحدد درجهاته يتم تقدير معالماته ، وهناك عدة طرق تستخدم في التقدير، اهمها : طريقة الامكان الاعظم Maximum likelihood Method (ابراهيم:2001,انتربنiet) وهناك من يضيف طرقا اخرى منها معادلات Yule– Walker وطريقة المربيعات الصغرى وطريقة التقدير غير الخطية (محمد،2010:219).

ب - اختبار النماذج الملائمة Fitting Model Test

بعد تقدير معلمات النموذج والتحقق من النموذج يحدد النموذج الملائم لتم ثيل بيانات السلسلة الزمنية بدقة، وهو يعتمد على سلوك دالة الارتباط الذاتي ACF، ودالة الارتباط الذاتي الجزئي PACF لكل سلسلة زمنية بعد تحقيق الاستقرارية في هذه السلسل (Wei,1990:41) .

وكذلك يمكن الاعتماد عليها في تحديد رتبة النموذج ولكن في بعض الأحيان لا تسلك هذه المعاملات السلوك النظري أي أنها لا تظهر أي نموذج محدد أو تظهر أحيانا أكثر من نموذج . وهناك أسلوب آخر لاستخدامه في تحديد النموذج وهو معيار متواسط مربعات الخطأ (MSE) الذي تكون صيغته كما يلي :

(جميل، 2007: 40)

حيث أن:

X_i : القيمة الحقيقة

F_i : القيمة التنبؤية

N : عدد المشاهدات

التحقق من النموذج : Model Checking

بعد مرحلة تشخيص النموذج وتقدير معلماته تأتي الخطوة التالية وهي اجراء تدقيق لمدى ملائمة رتبة ومطابقة النموذج التجاري للغرض والتحقيق في محاولة لايجاد النموذج الجيد والملاائم وان النموذج المتحقق الاكثر فائدة يتحقق من خلال معيار معلومات اكايكي Akaike Information Criterion (Hamilton, 1994:22)

في عام 1974 - 1973 اقترح Akaike معيار معلوماتي سمي باسمه ويرمز له AIC وهو معيار يستخدم لتشخيص النموذج الملائم الإحصائي لـ M من المعلمات الملائمة للبيانات وتعرف كالاتي (جميل، 2007:44)

$$AIC = nLn\sigma_a^2 + 2M$$

حيث ان :

M : عدد المعلمات في النموذج

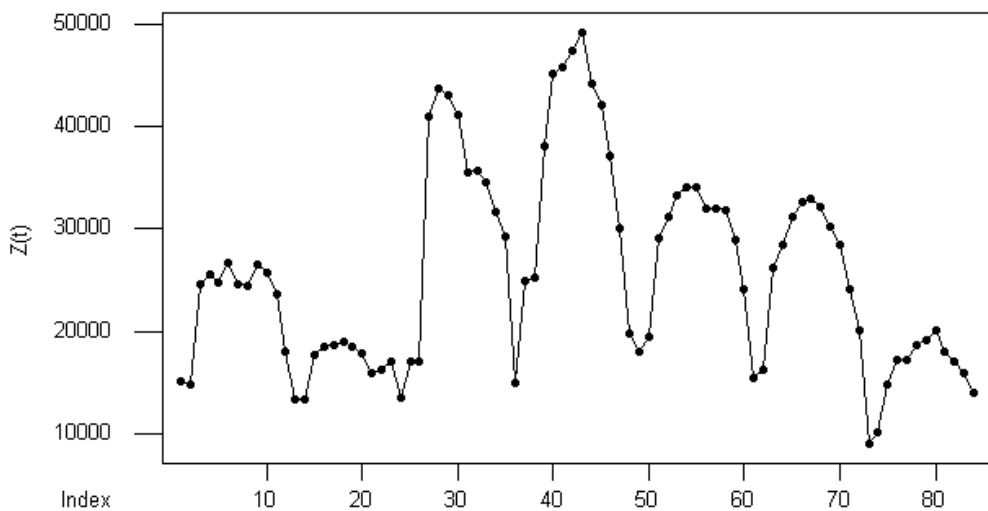
ان رتبة النموذج المثلثي نختار بقيمة M التي هي دالة لـ p,q لذلك فان النموذج الأفضل هو النموذج الذي يعطي اقل قيمة إلى M.

الجانب التطبيقي

تم في هذا المبحث التطبيق العملي لنماذج Box – Jenkins الخاص بتحليل البيانات لمعدل المبيعات الشهرية في معمل سمنت كركوك لمدة 2003 – 2009 لغرض التوصل الى النموذج الملائم لاستخدامه للتنبؤ بمعدل المبيعات الشهرية والسنوية لغاية سنة 2013، وقد تم استخدام البرنامج الجاهز Minitab وكالآتي:

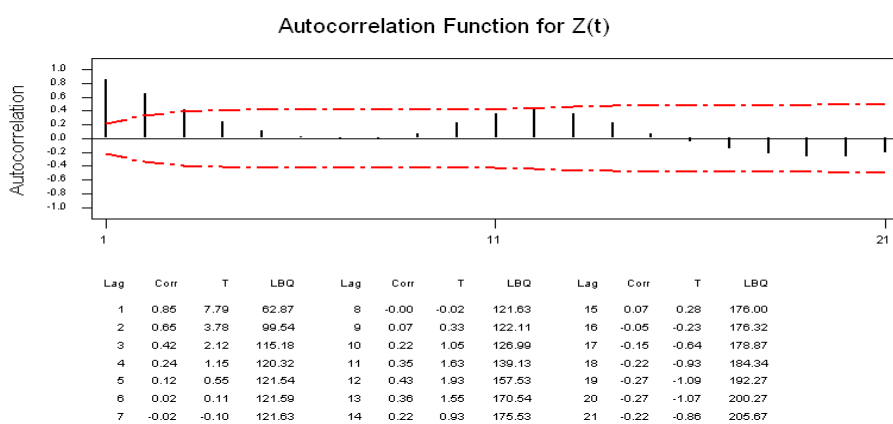
المرحلة الاولى : وقد تم فيها الآتي:

الخطوة الاولى : تم رسم السلسلة الزمنية فظهرت كما في الشكل رقم .(1)
الشكل ادناه يوضح المخطط الزمني للسلسلة



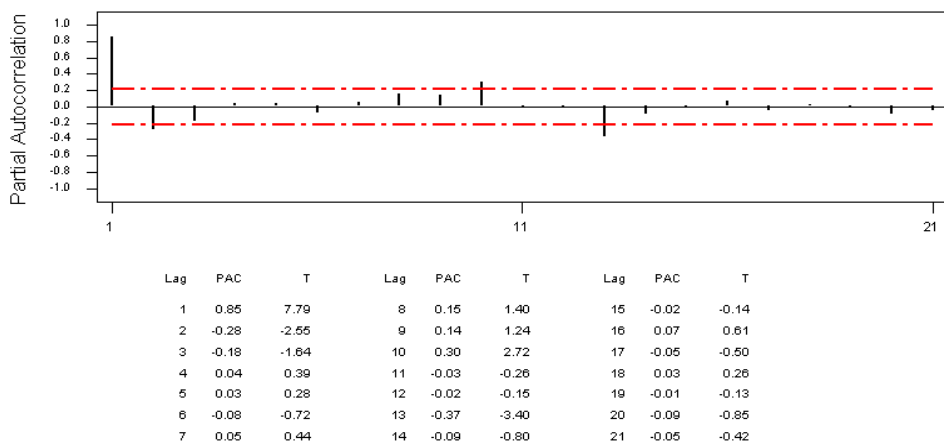
شكل رقم (1) الرسم البياني للسلسلة الأصلية للمبيعات

يلاحظ من الشكل السابق ان السلسلة غير مستقرة الى حد ما .
بعد ذلك يرسم الترابط الذاتي ACF والترابط الذاتي الجزئي PACF وكالآتي :



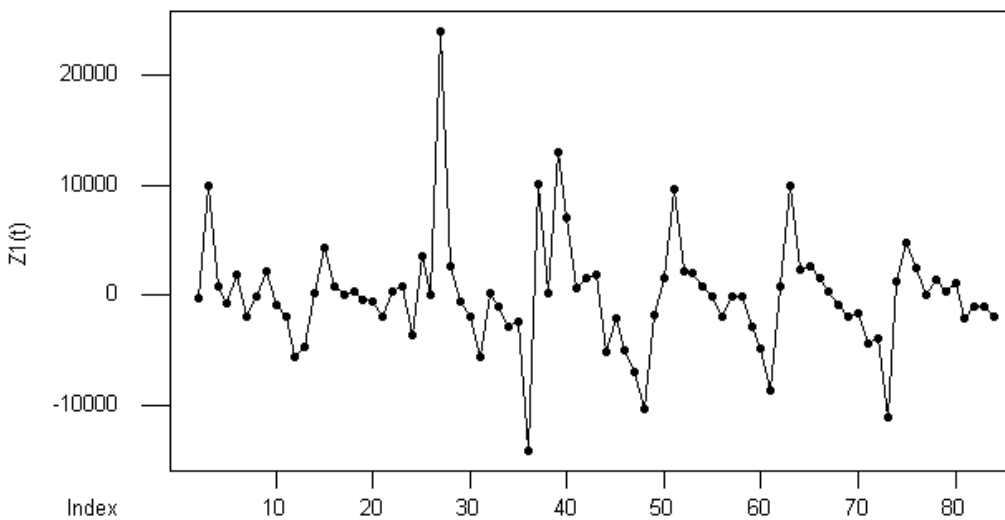
شكل رقم (2) سلوك دالة الارتباط الذاتي ACF

Partial Autocorrelation Function for Z(t)



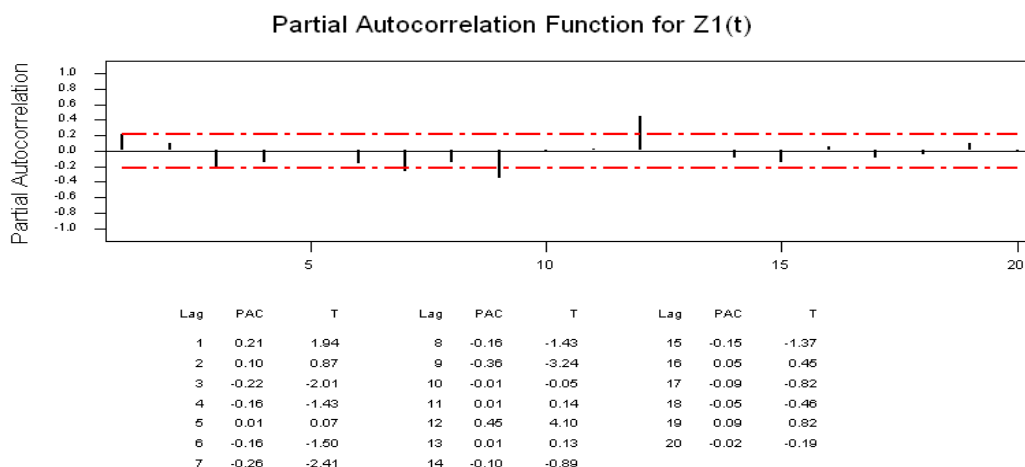
شكل رقم (3) سلوك دالة الارتباط الذاتي الجزئي PACF

الخطوة الثانية : تحقيق الاستقرارية من خلال رسم معاملات الارتباط الذاتي ACF ومعاملات الارتباط الذاتي الجزئي PACF كما في الشكل رقم (2) اذ تبين من خلال الرسم ان قيم معاملات الارتباط الذاتي لا تقع ضمن حدود الثقة المسموحة وبمستوى الثقة . 95% مما يدل على عدم الاستقرارية، نقوم باخذ الفرق الاول $w_t z_t$ للبيانات الأصلية وترسم كالتالي :

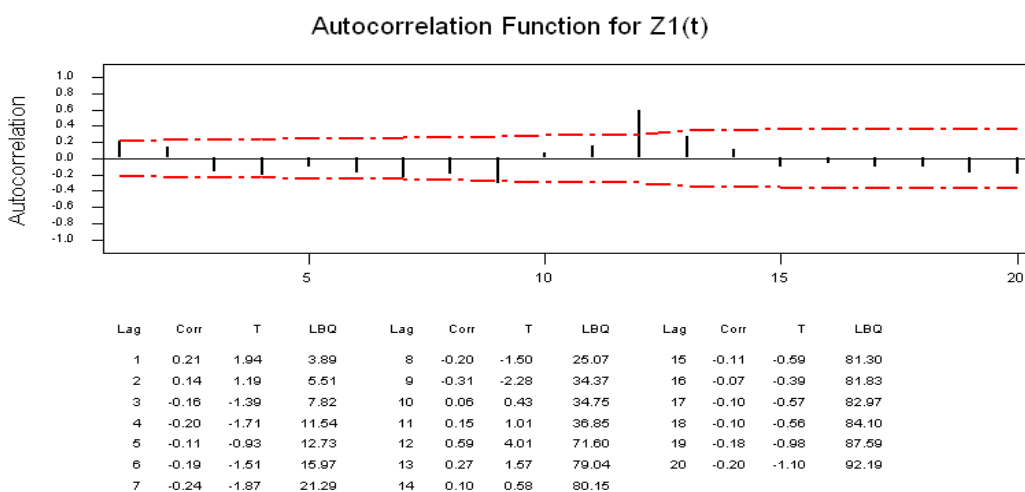


شكل رقم (4) الرسم البياني للسلسلة الزمنية للمبيعات بعد اخذ الفرق الاول

من خلال الشكل (3) يلاحظ بان السلسلة الزمنية للمبيعات تبدو مستقرة الى حد ما ودوال الارتباط الذاتي (ACF) والارتباط الذاتي الجزئي (PACF) للسلسلة المستقرة توضح في الاشكال ادناء.



شكل رقم (5) سلوك دالة الارتباط الذاتي ACF بعد اخذ الفرق الاول



شكل رقم (6) سلوك دالة الارتباط الذاتي الجزئي PACF بعد اخذ الفرق الاول

الخطوة الثالثة : اختيار النموذج المناسب من خلال استخدام معيار المعلومات الذاتي (AIC) كما هو موضح الجدول رقم (2) أدناه.

جدول رقم (2) المقارنة بين النماذج لاختيار أفضل نموذج

Models	MSE	m	ln	nln	2m	AIC
ARI(1,1)	24723829	2	17.02328	1429.955	4	1433.955
ARI(1,2)	24781200	3	17.0256	1430.15	6	1436.15
IMA(1,1)	24978777	2	17.03354	1430.817	4	1434.817
IMA(1,2)	23722566	3	16.98194	1426.483	6	1432.483
ARIMA(1,1,1)	24957875	3	17.0327	1430.747	6	1436.747
ARIMA(2,1,1)	24770099	4	17.02515	1430.112	8	1438.112
ARIMA(1,1,2)	23173477	4	16.95852	1424.516	8	1432.516
ARIMA(2,1,2)	21065655	5	16.86315	1416.505	10	1426.505

المصدر : من إعداد الباحث بالاعتماد على بيانات المعمل

من خلال الجدول أعلاه وبالاعتماد على مقياس AIC، إن أفضل نموذج بين هذه النماذج هو نموذج

$$AIC(m) = 1426.505 \text{ لـ ARIMA (2,1,2)}$$

المرحلة الثانية : تم إيجاد القيم التنبؤية للبيانات بالاعتماد على النموذج ARIMA(2,1,2) فجاءت

النتائج على الشكل الآتي:

جدول رقم (3) إيجاد القيم التنبؤية للبيانات بالاعتماد على النموذج ARIMA(2,1,2)

Upper	Lower	Forecast	Period	Years
12648.1	3650.4	21645.8	1	2010
11723.3	-1370.5	24817.2	2	
11480.3	-4494.3	27454.8	3	
11925.6	-5962.7	29813.8	4	
12916.1	-6116.0	31948.3	5	
14200.5	-5443.3	33844.3	6	
15480.3	-4473.7	35434.3	7	
16478.6	-3657.0	36614.2	8	
16997.8	-3302.5	37298.2	9	
16958.0	-3582.7	37498.6	10	
16405.3	-4558.0	37368.6	11	

15494.4	-6174.4	37163.2	12	
14446.8	-8241.4	37134.9	1	2011
13498.9	-10442.0	37439.8	2	
12849.3	-12412.9	38111.5	3	
12618.9	-13857.8	39095.5	4	
12829.1	-14636.1	40294.2	5	
13404.6	-14786.5	41595.7	6	
14196.1	-14492.1	42884.2	7	
15017.3	-14008.6	44043.2	8	
15688.3	-13590.3	44966.8	9	
16073.7	-13436.1	45583.5	10	
16109.3	-13666.0	45884.7	11	
15811.0	-14315.9	45938.0	12	
15266.1	-15339.9	45872.2	1	2012
14609.3	-16617.6	45836.1	2	
13990.5	-17972.4	45953.3	3	
13541.3	-19210.2	46292.7	4	
13347.6	-20168.3	46863.5	5	
13434.2	-20758.6	47627.0	6	
13763.3	-20986.9	48513.4	7	
14247.2	-20942.2	49436.6	8	
14770.6	-20765.2	50306.3	9	
15217.3	-20607.8	51042.3	10	
15495.7	-20598.5	51589.9	11	
15556.8	-20820.9	51934.6	12	
12648.1	-21303.4	52107.6	1	2013
11723.3	-22019.5	52178.8	2	
11480.3	-22895.4	52236.8	3	
11925.6	-23825.0	52364.4	4	
12916.1	-24693.1	52619.3	5	
14200.5	-25402.3	53024.2	6	

15480.3	-25896.1	53567.7	7	
16478.6	-26170.6	54211.2	8	
16997.8	-26271.8	54899.1	9	
16958.0	-26279.7	55569.5	10	
16405.3	-26286.4	56166.0	11	
15494.4	-26374.5	56648.0	12	

المصدر : من إعداد الباحثه بالاعتماد على بيانات المعمل

الاستنتاجات والتوصيات

من خلال ما سبق عرضه من دراسة تطبيقية لتحليل السلسلة الزمنية باستخدام نموذج Box – Jenkins لغرض التنبؤ بكمية المبيعات الشهرية لمعلم سمنت كركوك تم التوصل الى جملة من الاستنتاجات والتوصيات.

الاستنتاجات:

- ١ ان البيانات الشهرية من كمية المبيعات بعد اخذ الفرق الاول هي بيانات مستقرة تقريبا.
- ٢ لقد تم تشخيص النموذج المناسب والملائم للبيانات وتم التأكيد على أفضلية هذا النموذج ARIMA (2,1,2) بالإضافة على معيار AIC إذ حصل النموذج المعتمد على اصغر قيمة.
- ٣ من خلال النموذج المعتمد تم التقدير والتنبؤ بكمية مبيعات الاسمنت المستقبلية في معلم سمنت كركوك.

التوصيات:

- ١ خوصي ونؤكد على الاهتمام بتسجيل البيانات بصورة دقيقة وبطريقة جيدة وصحيحة وخزنها في جهاز الحاسوب وإبداء التسهيلات والمساعدات الممكنة من أجل الاستفادة من هذه البيانات في إجراء أبحاث أخرى للاستفادة منها في المستقبل.
- ٢ يجب التحسب مستقبلاً لما سيطرأ من زيادة في الطلب على مادة الاسمنت وذلك لزيادة نسبة الحصة السوقية لمعلم سمنت كركوك لتلبية ذلك الطلب.
- ٣ من الممكن تطبيق النموذج لغرض التنبؤ بكمية المبيعات اليومية في المعلم المذكور.
- ٤ خوصي إدارة المعلم بضرورة تعزيز الكادر العامل في شعبة التخطيط في المعلم.

المصادر

- ابراهيم، بسام يونس، (2001)، "التنبؤ بدرجات الحرارة في ولاية الخرطوم باستخدام احد نماذج بوكس جنكنز للسلسل الزمنية" ، انترنيت.
- ٢- بري، عدنان ماجد عبد الرحمن، (2002)، "طرق التنبؤ الاحصائي" ، جامعة الملك سعود.
- ٣- جميل، رقية عبد القادر، (2007)، "التنبؤ بانتاج واستهلاك الطاقة الكهربائية في مدينة السليمانية باستخدام نماذج بوكس -جنكنز" .
- ٤- كموجة، انتصار (2001) السلسل الزمنية على الموقع www.arab.api.org/cours
- ٥- محمد، منعم عزيز، (2010)، "نماذج بوكنز -جنكنز لتحليل السلسل الزمنية".

- 6- Box- G. E. P & Jenkins, G.M.T.(1976), "Time series Analysis Forecasting and Control, San Francisco", Holden-day,USA.
- 7- Chan, NgaiHang(2002), "Time series Application to Finance", John Wiley & Sons, New Yourk.
- 8- Chatfield, C.(1984), "The Analysis of time series An Introduction", 3ed ,Chapman and Hall,London.
- 9- Cryer,Johnthan.D(1986) "Time series Analysis", R .R .Donnelley & Sons Com.USA.
- 10- Hamilton, James D.(1994), "Time Series Analysis", United Kingdom: Princeton University Press, Chi Chester, West Sussex.
- 11- Shumway, Robert H. , Stoffer David S.(2006), "Time Series Analysis & its applications with R examples", 2ed , Springer Science- Business, Media. LLC, USA.
- 12- Wie,W.W.S.(1990), "Time Series Analysis; Univariate& Multivariate Methods", Addison- Wesley Publishing Com.